

champ créé par charge ponctuelle en TRL

C1

1)

Dans le ref. propre  $\mathcal{Q}$  on a  $\Phi^{(0)} = \frac{1}{4\pi\epsilon_0} \frac{q}{r^{(0)}}$  et  $\vec{A}^{(0)} = \vec{0}$

et qui correspond à des champs  $E_0$  et  $B_0$  tous nuls

on effectue la transf. de Lorentz sur  $A^{(0)\mu}(x^{(0)}) = (\text{parage de } \mathcal{Q}^{(0)}$   
vers  $\mathcal{Q}$ ) =

$$\begin{pmatrix} \Phi/c \\ A_x \\ A_y \\ A_z \end{pmatrix} = \begin{pmatrix} \gamma & \beta\gamma & & \Phi/c \\ \beta\gamma & \gamma & & 0 \\ & & 1 & 0 \\ & & & 1 \end{pmatrix} \begin{pmatrix} \Phi/c \\ 0 \\ 0 \\ 0 \end{pmatrix}$$

dans  
et  
 $\vec{A} = \beta\gamma \frac{\Phi}{c} \vec{e}_x = \beta \frac{\Phi}{c} \vec{e}_x$

2) il faut exprimer  $\Phi$  et  $\vec{A}$  en utilisant les coord. de  $\mathcal{Q}$ :

on a  $X^{(0)\mu} = \Lambda^{\mu}_{\nu} X^{\nu}$  soit  $x^{(0)} = \gamma(x - \beta ct)$  et  $y^{(0)} = y$  et  $z^{(0)} = z$

dans

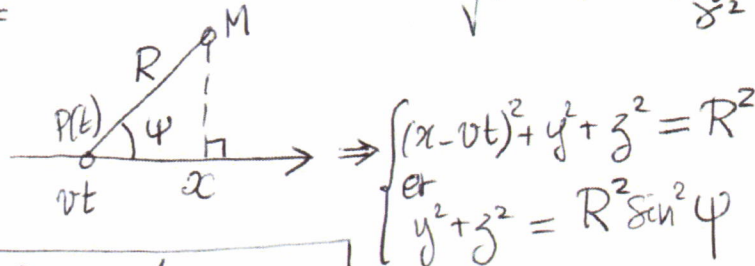
$$\boxed{\Phi(\vec{r}, t) = \frac{1}{4\pi\epsilon_0} \frac{\gamma q}{\sqrt{\gamma^2(x-ct)^2 + y^2 + z^2}}}$$

$$\left( \frac{1}{\gamma^2} = 1 - \beta^2 \right)$$

$$\downarrow \frac{q}{4\pi\epsilon_0}$$

on peut écrire cela sous la forme =  $\frac{1}{4\pi\epsilon_0} \frac{q}{\sqrt{(x-ct)^2 + \frac{y^2+z^2}{\gamma^2}}} = \frac{q}{\sqrt{(x-ct)^2 + y^2 + z^2 - \beta^2(y^2+z^2)}}$

on a le schéma =

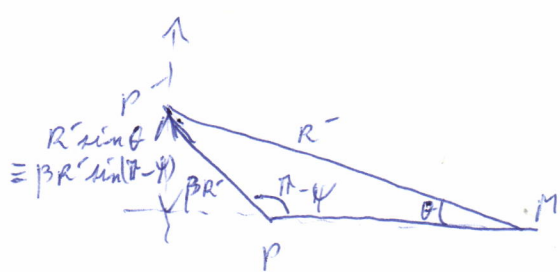
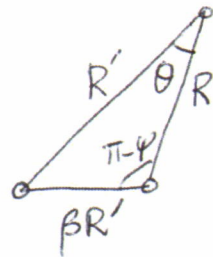


dans

$$\boxed{\Phi(\vec{r}, t) = \frac{q}{4\pi\epsilon_0} \frac{1}{R \sqrt{1 - \beta^2 \sin^2 \psi}}}$$

3) o On a par définition =  $P'M = c(t-t') = R'$   
et donc  $P'P = v(t-t') = \beta R'$ ,  $P \equiv P(t_2)$   
 $t/t' = t_2$   
 $R' = R_2$

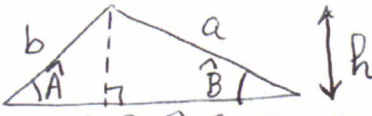
d'où la construction =



en utilisant l'égalité triangulaire  $\frac{\sin \hat{A}}{a} = \frac{c}{R}$

LC2

démonstration:

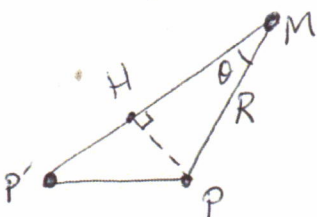


$$h = b \sin A = a \sin B$$

voir schéma  
page précédente

ceci donne:  $\frac{\sin \theta}{PR'} = \frac{\sin(\pi - \psi)}{R'} = \frac{\sin \psi}{R'}$  donc  $\beta \sin \psi = \sin \theta$  et  $\Phi(P', t) = \frac{q/4\pi\epsilon_0}{R' \cos \theta}$

mais on a:



$$R' \cos \theta = HM = \underbrace{P'M}_{R'} - \underbrace{P'H}_{\overrightarrow{PM} \cdot \overrightarrow{P'P}}$$

$$\text{donc } \boxed{\Phi(P', t) = \frac{q/4\pi\epsilon_0}{R'(1 - \hat{R}' \cdot \hat{\beta})}}$$

$$\text{avec } \hat{P}'M = \frac{\overrightarrow{P'M}}{\|\overrightarrow{P'M}\|} \text{ et } \hat{R}' = \frac{\overrightarrow{R'}}{\|\overrightarrow{R'}\|}$$

satisfaisant parce que tout est déterminé par la position et la vitesse de la particule à "l'instant retardé" qui correspond à une interaction qui se propage à vitesse c (par d'action instantanée).  
Cette formule est un cas particulier des potentiels de Liénard-Wiechert.

$\Phi(P', t) = \frac{q/4\pi\epsilon_0}{\sqrt{x^2 + y^2 + z^2 + (x-vt)^2}}$   $A_x = \beta \Phi/c$   $A_y = A_z = 0$   $\partial_x = \frac{\partial}{\partial(x-vt)} \frac{\partial(x-vt)}{\partial x}$

$\vec{E} = -\vec{\nabla}\Phi - \partial_t \vec{A} \Rightarrow E_x = -\partial_x \Phi - \frac{\beta}{c} \partial_t \Phi$

donc  $E_x = \underbrace{\left(-1 + \beta^2\right)}_{-\frac{1}{\gamma^2}} \underbrace{\frac{\partial \Phi}{\partial(x-vt)}}_{(-\frac{1}{2}) \frac{8q}{4\pi\epsilon_0} \frac{2\gamma^2(x-vt)}{[---]^{3/2}}}$

$$\begin{cases} \partial_x \Phi = \frac{\partial \Phi}{\partial(x-vt)} \\ \partial_t \Phi = -v \frac{\partial \Phi}{\partial(x-vt)} \end{cases}$$

avec  $\partial_t = \frac{\partial}{\partial(x-vt)} \frac{\partial(x-vt)}{\partial t}$

donc  $E_x = \frac{q\gamma}{4\pi\epsilon_0} \frac{x-vt}{[---]^{3/2}}$

on a également

$$E_y = -\partial_y \Phi = \frac{q\gamma}{4\pi\epsilon_0} \frac{y}{[---]^{3/2}}$$

et formule similaire pour  $E_z$

Donc

$$\boxed{\vec{E} = \frac{q\gamma}{4\pi\epsilon_0} \frac{1}{[\gamma^2(x-vt)^2 + y^2 + z^2]^{3/2}} \vec{R}}$$

= mirade --- le champ reste radical ( $\vec{R} = \overrightarrow{PM}$ )

Etude de  $E_x$

$$E_x(\xi = x - vt) = \frac{q}{4\pi\epsilon_0\gamma^2} \frac{\xi}{[\xi^2 + y^2 + z^2]^{3/2}}$$

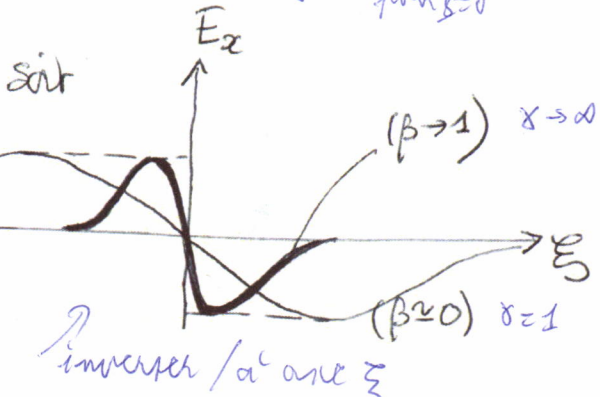
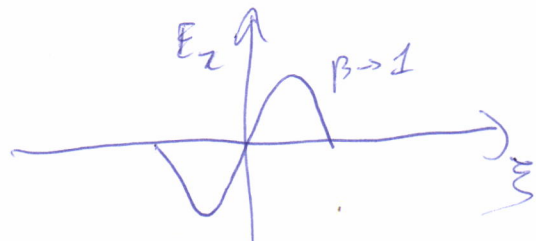
C3

$$\frac{dE_x}{d\xi} = \frac{q}{4\pi\epsilon_0\gamma^2} \frac{1}{[\dots]^{5/2}} \times \left\{ \frac{\xi^2 + y^2 + z^2}{\gamma^2} - 3\xi^2 \right\} \rightarrow \frac{y^2 + z^2}{\gamma^2} - 2\xi^2$$

nul si  $\xi_0 = \pm \sqrt{\frac{y^2 + z^2}{2\gamma^2}}$  et alors  $E_x(\xi_0) = \pm \frac{q}{4\pi\epsilon_0} \sqrt{\frac{4}{27}} \frac{1}{y^2 + z^2}$   
(indép. de  $\gamma$ )

on a :  $\xi |_{-\infty} -\xi_0 \quad \xi_0 \quad +\infty$

$dE_x/d\xi$	-	0	+	0	-
$E_x$					

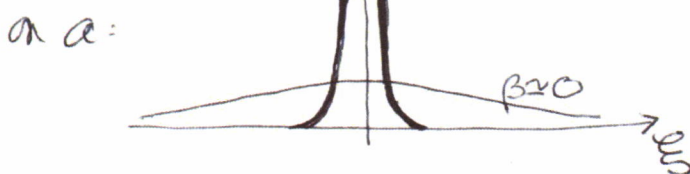


les extrema deviennent  
piqués dans la limite  
ultra-relativiste

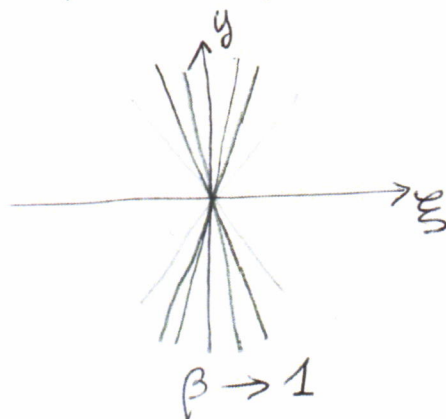
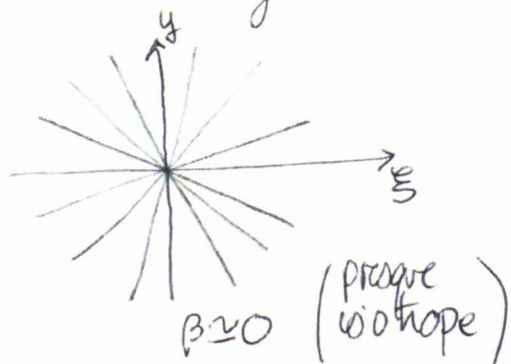
Etude de  $E_y$ :  $E_y = \frac{q}{4\pi\epsilon_0\gamma^2} \frac{y}{[\xi^2 + y^2 + z^2]^{3/2}}$

c'est presque une  
Lorentzienne. hauteur  
 $\propto \gamma$  et largeur  
 $\propto 1/\gamma$  -

Lorentzienne = fait de la forme  
 $\frac{1}{1+x^2}$



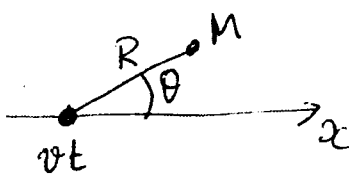
lignes de champ = on a vu que le champ est radial. On va faire un dessin en mettant beaucoup de lignes la où le flux est important:



une autre maniere de voir cela  
consiste à tracer le flux  $\Phi(\theta) = \vec{E} \cdot \hat{R}$  (flux total =  $\int (\vec{E} \cdot \hat{R}) R^2 d\Omega$ )  
il est facile de voir que  $R^2(\vec{E} \cdot \hat{R}) = \frac{\gamma q}{4\pi\epsilon_0} \frac{R^3}{(x^2 + y^2 + z^2)^{3/2}}$

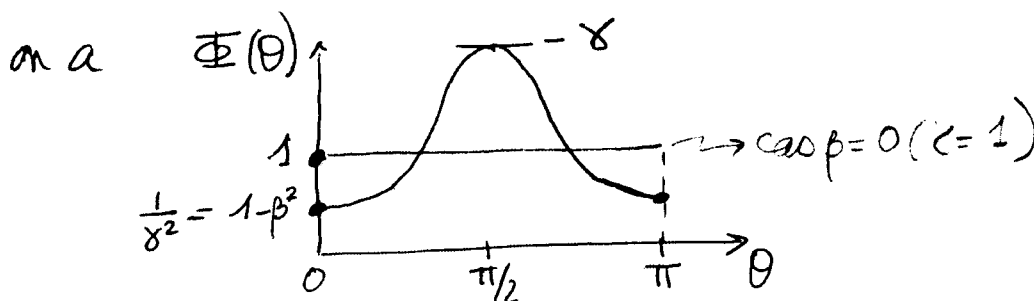
C4

on prend  $\theta$  tel que :



alors  $\begin{cases} x = R \cos \theta \\ y^2 + z^2 = R \sin^2 \theta \end{cases}$

donc  $\Phi(\theta) = \frac{q}{4\pi\epsilon_0} \frac{x}{[x^2 \cos^2 \theta + \sin^2 \theta]^{3/2}}$



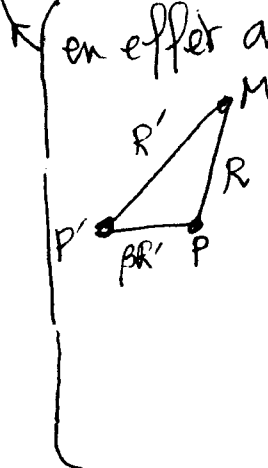
champ  $\vec{B}$

$$\begin{cases} B_x = \partial_y A_z - \partial_z A_y = 0 \\ B_y = \partial_z A_x - \partial_x A_z = \frac{\beta}{c} \partial_z \phi = \frac{1}{4\pi\epsilon_0} \frac{\beta}{c} \frac{\gamma q}{[-]} \frac{-z}{[-]^{3/2}} \\ B_z = \partial_x A_y - \partial_y A_x = -\frac{\beta}{c} \partial_y \phi = \frac{1}{4\pi\epsilon_0} \frac{\beta}{c} \frac{\gamma q}{[-]} \frac{+y}{[-]^{3/2}} \end{cases}$$

on remarque que  $B_y = -\frac{\beta}{c} E_z$  et  $B_z = \frac{\beta}{c} E_y$

donc  $\vec{B} = \vec{B} \wedge \vec{E}_C = \hat{R}' \wedge \vec{E}_C$  (figures pages + haut)

$$\begin{array}{|c|c|c|} \hline & E_z/c & \\ \hline \beta & \wedge & \\ \hline 0 & E_y/c & \\ \hline 0 & E_z/c & \\ \hline \end{array}$$



$$\vec{B} R' + \vec{R} = \vec{R}'$$

sait  $\vec{B} = \hat{R}' - \frac{\vec{R}}{|R'|}$  ; colinéaire à  $\vec{E}$  = ne joue pas dans le produit vectoriel